

УДК 539.3

## ВЛИЯНИЕ СЖИМАЕМОСТИ МАТЕРИАЛА НА РЕШЕНИЕ УПРУГОПЛАСТИЧЕСКОЙ ЗАДАЧИ О ПЛОСКОЙ ДЕФОРМАЦИИ

О. А. Киликовская, Н. В. Овчинникова

Научно-исследовательский институт механики  
Московского государственного университета им. М. В. Ломоносова, 119192 Москва  
E-mail: ovch-n@yandex.ru

Рассмотрена модельная задача о плоской деформации упругопластического материала. Показано, что вид напряженного состояния в плоскости нагружения влияет на зависимость решения от коэффициента Пуассона. Установлено, что для состояния, при котором величины главных напряжений в плоскости нагружения приближенно равны, влияние сжимаемости значительно, поэтому ее необходимо учитывать. Показано, что если главные напряжения в плоскости нагружения имеют разные знаки, то решения для сжимаемого и несжимаемого материалов практически совпадают.

**Ключевые слова:** плоская деформация, коэффициент Пуассона, пластичность, теория течения, сжимаемость материала.

**Введение.** Целью настоящей работы является анализ влияния упругой сжимаемости материала (коэффициента Пуассона  $\nu$ ) на решение упругопластической задачи о плоской деформации ( $\varepsilon_z = 0$ ). Часто при аналитическом решении задач о плоской деформации влияние сжимаемости не учитывается явно, что позволяет существенно упростить решение. В этом случае для определения осевого напряжения  $\sigma_z$  используется равенство

$$\sigma_z = 0,5(\sigma_1 + \sigma_2), \quad (1)$$

где  $\sigma_1, \sigma_2$  — главные напряжения в плоскости нагружения  $Oxy$ .

Влияние сжимаемости не учитывается неявно, в случае если для сжимаемого материала ( $0 \leq \nu < 0,5$ ) принимается гипотеза о промежуточном положении величины  $\sigma_z$  относительно  $\sigma_1, \sigma_2$  [1]:

$$\sigma_1 \leq \sigma_z \leq \sigma_2. \quad (2)$$

Отсюда следует, что максимальное касательное напряжение выражается только через напряжения  $\sigma_1, \sigma_2$ :

$$\tau_{\max} = 0,5|\sigma_2 - \sigma_1|.$$

Тогда в главных осях условие пластичности Треска — Сен-Венана принимает вид

$$(\sigma_1 - \sigma_2)^2 = 4m^2. \quad (3)$$

Здесь  $m = \sigma_s/2$ ;  $\sigma_s$  — предел текучести материала при растяжении.

С использованием соотношения (1) при  $m = \sigma_s/\sqrt{3}$  условие пластичности Мизеса

$$\sigma_U \equiv \sqrt{(\sigma_z - (\sigma_1 + \sigma_2)/2)^2 + 3(\sigma_1 - \sigma_2)^2/4} = \sigma_s \quad (4)$$

( $\sigma_U$  — интенсивность напряжений) сводится к (3).

Предположение о незначительном влиянии упругой сжимаемости материала на напряженно-деформированное состояние и соответственно о возможности использования для сжимаемого материала гипотез (1), (2) является следствием того, что сравнение численного решения для сжимаемого материала и аналитического для несжимаемого материала проводилось на примере задач, в которых различие этих решений незначительное (задача о трубе, находящейся под действием только внутреннего давления [1, 2], задача об одноосном сжатии бруса в условиях плоской деформации (опыт Бриджмена) [3]).

Выполненное в [4–6] численно-аналитическое исследование некоторых упругопластических задач о плоской деформации показало, что решения для сжимаемого и несжимаемого материалов могут существенно различаться; в частности, гипотеза (2) выполняется не всегда.

Ниже на примере задач, в которых реализуется однородное состояние, показано, что степень различия решений для сжимаемого и несжимаемого материалов, а также возможность применения гипотезы (2) зависят от соотношения между главными напряжениями в плоскости нагружения. Предварительную оценку влияния сжимаемости на решение упругопластической задачи можно получить с использованием решения задачи упругости.

**1. Задача о двухосном растяжении пространства.** Рассмотрим задачу о развитии однородных упругопластических деформаций при двухосном растяжении пространства в условиях плоской деформации усилиями  $\sigma_x$ ,  $\sigma_y$  ( $\sigma_x = k\sigma_y$ ,  $-1 \leq k \leq 1$ ). Предположим, что усилия увеличиваются пропорционально увеличению некоторого параметра нагружения  $t \geq 0$ , т. е.  $\sigma_y = q_0 t$ . Можно принять, что  $q_0 = \sigma_s/\sqrt{3}$ .

Решение данной задачи получено лишь в случае  $k = 0$  для идеально пластического материала [3]. Это решение моделирует эксперимент Бриджмена по одноосному сжатию бруса в условиях плоской деформации.

Заметим, что в упругом состоянии материала осевое напряжение  $\sigma_z$  не всегда является “промежуточным” главным напряжением. При

$$k > \nu/(1 - \nu) \quad (\nu \neq 0,5) \quad (5)$$

выполнены неравенства  $\sigma_z < \sigma_x < \sigma_y$ , и, следовательно,

$$\tau_{\max} = (\sigma_y - \sigma_z)/2 \quad (6)$$

(область I на рис. 1).

В остальных случаях, т. е. для любого  $k$ , если  $\nu = 0,5$ , и при

$$k \leq \nu/(1 - \nu) \quad \nu \neq 0,5, \quad (7)$$

справедливы неравенства

$$\sigma_x < \sigma_z < \sigma_y, \quad (8)$$

следовательно,

$$\tau_{\max} = (\sigma_y - \sigma_x)/2.$$

Покажем, что в случае (5) соотношение (6) выполняется и при упругопластическом деформировании материала в большом интервале изменения параметра нагружения  $t$ , при

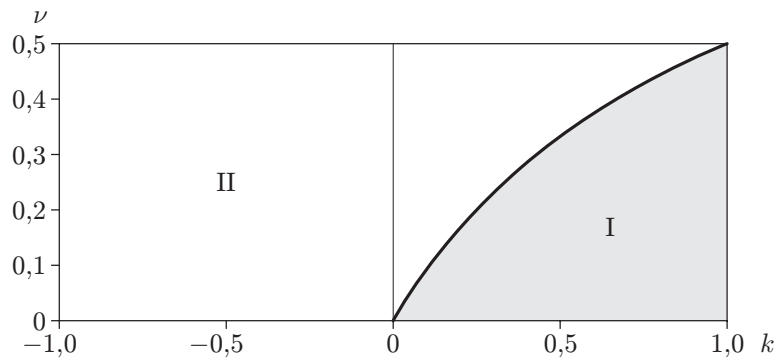


Рис. 1. Области параметров  $\nu$  и  $k$ , в которых выполняются неравенства (5) (область I) и неравенства (7) (область II)

этом решение задачи существенно отличается от соответствующего решения для несжимаемого материала. В случае (7) соотношение (8) выполняется для любого  $t$ , причем решения для сжимаемого и несжимаемого материалов близки.

Значение параметра  $t_0$ , при котором появляются пластические деформации, определим из условия пластичности Мизеса (4):

$$t_0 = \frac{2\sigma_s}{q_0} \frac{1}{\sqrt{(1-2\nu)^2(1+k)^2 + 3(1-k)^2}}. \quad (9)$$

Примем, что при  $t \geq t_0$  материал удовлетворяет уравнениям теории пластического течения с изотропным упрочнением:

$$\begin{aligned} E\dot{\varepsilon}_x &= \dot{\sigma}_x - \nu(\dot{\sigma}_y + \dot{\sigma}_z) + E\dot{\lambda}(\sigma_x - (\sigma_z + \sigma_y)/2), \\ E\dot{\varepsilon}_y &= \dot{\sigma}_y - \nu(\dot{\sigma}_x + \dot{\sigma}_z) + E\dot{\lambda}(\sigma_y - (\sigma_z + \sigma_x)/2), \\ 0 &= E\dot{\varepsilon}_z = \dot{\sigma}_z - \nu(\dot{\sigma}_x + \dot{\sigma}_y) + E\dot{\lambda}(\sigma_z - (\sigma_x + \sigma_y)/2) \end{aligned} \quad (10)$$

(дифференцирование ведется по параметру нагружения  $t$ ). Начальное условие определяется из решения задачи теории упругости при  $t = t_0$ .

В случае линейно упрочняющегося материала имеем

$$E\dot{\lambda} = \frac{1-\alpha}{\alpha} \frac{\dot{\sigma}_U}{\sigma_U} \quad (11)$$

( $\alpha = E_1/E$ ;  $E_1$  — коэффициент линейного упрочнения;  $E$  — модуль Юнга).

В случае идеально пластического материала  $\dot{\lambda}$  — неизвестная конечная величина. При этом к системе (10) добавляется уравнение

$$\sigma_U = \sigma_s, \quad t \geq t_0. \quad (12)$$

**2. Случай нагружения при  $k = 1$ .** Пусть  $\sigma_x = \sigma_y = q_0 t$ . При  $\nu = 0,5$  в задаче упругости имеет место равенство  $\sigma_z = \sigma_x = \sigma_y$  (случай всестороннего растяжения). Деформации равны нулю:  $\varepsilon_x = \varepsilon_y = \varepsilon_z = 0$ . Поскольку  $\tau_{\max} = 0$ ,  $\sigma_U = 0$ , пластические деформации отсутствуют и при любом значении параметра нагружения тело остается упругим.

При  $\nu \neq 0,5$  в задаче упругости выполнены неравенства  $\sigma_z < \sigma_x = \sigma_y$ . Так как  $\tau_{\max} = (\sigma_y - \sigma_z)/2 \neq 0$ ,  $\sigma_U \neq 0$ , то при  $t_0 = \sigma_s/[q_0(1-2\nu)]$  возникают пластические деформации.

В случае линейно упрочняющегося материала решение системы (10), (11) при  $t \geq t_0$ ,  $\nu \neq 0,5$  имеет вид

$$\sigma_z = \sigma_y(1 - \alpha(1 - 2\nu)) - \sigma_s(1 - \alpha); \quad (13)$$

$$E\varepsilon_y = E\varepsilon_x = (0,5 - \nu)[\sigma_y(3 - \alpha(1 - 2\nu)) - \sigma_s(1 - \alpha)]. \quad (14)$$

Решение задачи (10), (12) для идеально пластического материала представляется формулами (13), (14) при  $\alpha = 0$ .

Оценим, насколько значение  $\tilde{\nu} = \sigma_z/(\sigma_x + \sigma_y)$  отличается от 0,5. В случае упругого тела  $\tilde{\nu} = \nu$ . Для упругопластического тела при  $t = nt_0$  ( $n \geq 1$ ) имеем

$$\tilde{\nu} = 0,5 - (0,5 - \nu)[(1 - \alpha)/n + \alpha].$$

Следовательно, величина  $\tilde{\nu}$  стремится к предельному значению достаточно медленно (порядка  $1/n$ ), причем если  $\alpha \neq 0$ , то значение  $\tilde{\nu} = 0,5$  в пределе не достигается. Например, при  $\alpha = 0,01$ ,  $n = 5$  значение  $\tilde{\nu}$  равно 0,458.

Для упругой  $\varepsilon^e$ , пластической  $\varepsilon^p$  и полной деформаций справедливы оценки

$$\varepsilon_x^e \approx n\varepsilon_x(t_0), \quad \varepsilon_x^p \approx n\varepsilon_x(t_0)/2, \quad \varepsilon_x \approx 3n\varepsilon_x(t_0)/2, \quad (15)$$

где  $\varepsilon_x(t_0) = (1 + \nu)\varepsilon_s$ ;  $\varepsilon_s = \sigma_s/E$ . Из (15) следует, что упругая деформация приблизительно в два раза больше пластической деформации.

Итак, при равенстве главных напряжений ( $\sigma_x = \sigma_y$ ) в плоскости нагружения решения для сжимаемого и несжимаемого материалов существенно различаются. В этом случае для сжимаемого материала гипотеза (2) не верна, так как  $\sigma_z$  меньше  $\sigma_x = \sigma_y$  на всем пути нагружения. Пластическая деформация по модулю меньше соответствующей упругой деформации, поэтому модель жесткопластического тела, в которой упругие деформации не учитываются, тем более неприменима. Из решения задачи для  $\nu = 0,5$  нельзя получить решение для  $\nu \neq 0,5$ .

В осесимметричной задаче о растяжении пространства с цилиндрической полостью усилиями  $p$ , приложенными на бесконечности, всюду, за исключением сравнительно небольшой области, прилегающей к отверстию, напряженно-деформированное состояние однородно и  $\sigma_1 \approx \sigma_2 \approx p$ . Решения задачи для сжимаемого и несжимаемого материалов существенно различаются [4], в частности значительно различаются размеры соответствующих пластических областей.

**3. Случай нагружения при  $k = -1$  (чистый сдвиг).** При  $k = -1$  величина  $\sigma_U$  для любого  $\nu$  в течение всего процесса нагружения определяется по формуле  $\sigma_U = \sqrt{\sigma_z^2 + 3\sigma_y^2}$ . Так как в случае упругого тела  $\sigma_z \equiv 0$ , то значение параметра  $t_0$ , при котором появляются пластические деформации, не зависит от  $\nu$ :

$$t_0 = \sigma_s/(\sqrt{3}q_0), \quad \sigma_y^0 = \sigma_s/\sqrt{3}. \quad (16)$$

В случае идеально пластического материала при  $t > t_0$  решения задачи не существует, так как из (10), (12), (16) следует, что при  $t > t_0$  напряжения могут быть только постоянными:  $\sigma_y = \sigma_y^0$ ,  $\sigma_z = 0$ . Из системы уравнений (10), (12) величина  $\dot{\lambda}$  в точке  $t_0$  не определяется однозначно, т. е. может принимать любые значения, следовательно, величины  $\dot{\varepsilon}_y(t_0)$ ,  $\dot{\varepsilon}_x(t_0)$  могут быть сколь угодно большими. При этом в случае  $t = t_0$  деформации могут принимать любые значения. (Этот вывод следует также из приведенного ниже решения задачи для упрочняющегося материала при  $\alpha \rightarrow 0$ .)

В случае упрочняющегося материала при  $t \geq t_0$  решение (10), (11) существует и имеет вид

$$\sigma_z \equiv 0, \quad E\varepsilon_y = -E\varepsilon_x = \sigma_y(1 + \nu) + 1,5(1/\alpha - 1)(\sigma_y - \sigma_s/\sqrt{3}).$$

Значения  $t_0^{0,5}/t_0^\nu$  в зависимости от  $\nu$  и  $k$ 

$\nu$	$t_0^{0,5}/t_0^\nu$			
	$k = -1$	$k = 0$	$k = 0,8$	$k = 1$
0,1	1	1,102	4,276	$\infty$
0,3	1	1,026	2,307	$\infty$
0,5	1	1,000	1,000	—

Следовательно, чем меньше упрочнение материала, тем быстрее растут деформации с увеличением параметра  $t$ . Незначительное различие деформаций для сжимаемого и несжимаемого материалов определяется незначительным различием упругих деформаций. Соотношение (2) выполняется при любом  $t$ , максимальное касательное напряжение определяется по формуле (8).

Таким образом, в случае  $k = -1$  решения задачи для сжимаемого и несжимаемого материалов близки.

Заметим, что случай чистого сдвига имеет место в задаче об упругом деформировании пространства с цилиндрической полостью под действием только внутреннего давления на полость, так как в любой точке пространства выполнено условие  $\sigma_r = -\sigma_\theta$ . В этой задаче при наличии пластических деформаций выполняется соотношение (2) [1], влияние сжимаемости оказывается незначительным; размер пластической области не зависит от  $\nu$ .

**4. Нагружение при  $-1 < k < 1$ .** Ниже рассматриваются случаи деформирования сжимаемого и несжимаемого материалов.

4.1. *Несжимаемый материал.* Из (9) следует, что при  $\nu = 0,5$  значение параметра  $t_0$ , при котором появляются пластические деформации, равно  $t_0^{0,5} = 2\sigma_s/[\sqrt{3}q_0(1-k)]$ . В случае идеально пластического материала при  $t > t_0^{0,5}$  решения не существует; в точке  $t = t_0^{0,5}$  деформации становятся сколь угодно большими (доказательство аналогично приведенному в п. 3 для случая идеально пластического материала).

В случае упрочняющегося материала при  $t \geq t_0^{0,5}$  решение существует. Нетрудно показать, что при  $\nu = 0,5$  из третьего уравнения системы (10) следует

$$\sigma_z = 0,5(\sigma_x + \sigma_y). \quad (17)$$

При  $t \geq t_0^{0,5}$  решение системы (10), (11) имеет вид

$$E\varepsilon_x(t) = -E\varepsilon_y(t) = -0,75(1-k)q_0(t + (1/\alpha - 1)(t - t_0^{0,5})).$$

Таким образом, скорость роста пластических деформаций существенно больше (приблизительно в  $1/\alpha$  раз) скорости роста упругих деформаций.

4.2. *Сжимаемый материал.* Следует отметить, что в случае сжимаемого материала началу пластической деформации соответствует меньшее значение параметра нагружения  $t_0^\nu$  (9), чем в случае несжимаемого материала:  $t_0^\nu < t_0^{0,5}$ . При  $k \rightarrow 1$  это различие существенно увеличивается. Значения величины  $t_0^{0,5}/t_0^\nu = t_1/t_0^\nu$  при различных значениях  $\nu, k$  приведены в таблице.

В случае идеально пластического материала решение системы уравнений (10), (12) имеет следующий вид:

$$\sigma_z = \frac{\sigma_x + \sigma_y}{2} - \sqrt{\sigma_s^2 - \frac{3}{4}(\sigma_y - \sigma_x)^2} = \frac{(1+k)q_0t}{2} - \sigma_s \sqrt{1 - \frac{t^2}{t_1^2}}; \quad (18)$$

$$E\varepsilon_x = q_0t(1-2\nu)\left(1 + \frac{k}{2}\right) - \frac{\sqrt{3}}{4}\sigma_s \ln\left(\frac{1+t/t_1}{1-t/t_1}\right) + \frac{(1-2\nu)k}{1-k}\sigma_s \sqrt{1 - \frac{t^2}{t_1^2}} + C_1,$$

$$E\varepsilon_y = q_0 t(1 - 2\nu) \left(k + \frac{1}{2}\right) + \frac{\sqrt{3}}{4} \sigma_s \ln \left(\frac{1 + t/t_1}{1 - t/t_1}\right) - \frac{1 - 2\nu}{1 - k} \sigma_s \sqrt{1 - \frac{t^2}{t_1^2}} + C_2 \quad (19)$$

(значения констант  $C_1, C_2$  находятся из начального условия при  $t = t_0^\nu$ ). Можно показать, что из формул (19) путем предельного перехода получается формула (14) для случая  $k = 1, \nu \neq 0,5$ .

Решение (18), (19) существует при  $t_0^\nu \leq t < t_1$ , где  $t_1 = 2\sigma_s / [\sqrt{3}q_0(1 - k)]$ . В случае идеально пластического материала в момент  $t = t_1$  возникает состояние предельной пластичности, поскольку при  $t = t_1$  выражения (19) имеют логарифмическую особенность (деформации становятся бесконечными). При этом соотношение (18) принимает вид (17). Величина  $t_1$  не зависит от  $\nu$  и совпадает с  $t_0^{0,5}$ .

При  $k < \nu/(1 - \nu)$  осевое напряжение является “промежуточным” главным напряжением при всех значениях  $0 \leq t \leq t_1$ . При  $k > \nu/(1 - \nu)$  осевое напряжение не является “промежуточным” не только при  $0 \leq t \leq t_0^\nu$ , но и при  $t_0^\nu \leq t \leq t_{zx}$ . В точке

$$t_{zx} = \frac{\sigma_s}{q_0(1 - k)} = t_1 \frac{\sqrt{3}}{2} \approx 0,866t_1$$

напряжение  $\sigma_z$  становится равным  $\sigma_x$ . Равенство (8) выполняется только при  $t_{zx} \leq t \leq t_1$ .

В случае упрочняющегося материала для  $k \neq \pm 1$  аналитическое решение получить не удастся, так как при  $\nu \neq 0,5$  задача (10), (11) сводится к нелинейному дифференциальному уравнению относительно  $\sigma_z$ , решаемому только численно. Для удобства исследования задача решалась методом конечных элементов. Численное решение задачи, полученное для материала с очень малым упрочнением ( $\alpha = 10^{-4}$ ), в интервале  $t_0^\nu \leq t < t_1$  практически совпадает с аналитическим решением (18), (19) для идеально пластического материала. При  $t > t_1$  для упрочняющегося материала решение существует, деформации увеличиваются с конечной, но большой “скоростью”, пропорциональной  $1/\alpha$ .

4.3. *Сравнение решений для сжимаемого и несжимаемого материалов.* В случае сжимаемого идеально пластического материала процесс развития деформаций можно разделить на два этапа, в случае сжимаемого упрочняющегося материала — на три этапа, которым соответствуют следующие интервалы значений параметра нагружения: 1)  $0 \leq t \leq t_0^\nu$  — упругие деформации; 2)  $t_0^\nu \leq t < t_1$  — упругопластические деформации, величины которых практически не зависят от  $\alpha$ , но зависят от  $\nu$ ; 3)  $t \geq t_1$  — упругопластические, быстрорастущие деформации (скорость роста определяется величиной  $1/\alpha$ ). В случае несжимаемого материала при  $0 \leq t \leq t_1$  деформации являются упругими, а при  $t \geq t_1$  они становятся быстрорастущими упругопластическими. При  $k \rightarrow 1$  длина интервала  $t_0^\nu \leq t < t_1$ , в котором деформации для сжимаемого и несжимаемого материалов различаются, увеличивается (см. таблицу). Кроме того, при  $k \rightarrow 1$  различие упругих деформаций для сжимаемого и несжимаемого материалов становится более существенным.

Пусть  $k \approx 1$ , например  $k = 0,8$  (такое соотношение нагрузок рассматривалось в работе [7]). На рис. 2 для идеально пластического материала представлены функции напряжений (18)  $\bar{\sigma}(t) = \sqrt{3}\sigma/\sigma_s$  и деформаций (19)  $\bar{\varepsilon}_y(t) = \varepsilon_y/\varepsilon_s$  при  $\nu = 0,3$ . Поскольку при  $\nu = 0,3$  материал переходит в пластическое состояние значительно быстрее, чем при  $\nu = 0,5$  ( $t_0^{0,5} \approx 2,3t_0^{0,3}$ ), различие деформаций является существенным в большом интервале значений  $t$ . В случае упрочняющегося материала в точке  $t_1$  выполняются следующие соотношения: при  $\nu = 0,3$   $\varepsilon_y(t_1) \approx 9\varepsilon_s$  для  $\alpha = 10^{-4}$ ,  $\varepsilon_y(t_1) \approx 6\varepsilon_s$  для  $\alpha = 10^{-2}$ ; при  $\nu = 0,5$  деформации в 10 раз меньше:  $\varepsilon_y(t_1) = 0,5\sqrt{3}\varepsilon_s \approx 0,9\varepsilon_s$ . При  $\nu = 0,3$  напряжение  $\sigma_z$  не является “промежуточным” при  $0 \leq t \leq t_{zx}$ , т. е. на значительном участке пути нагружения.

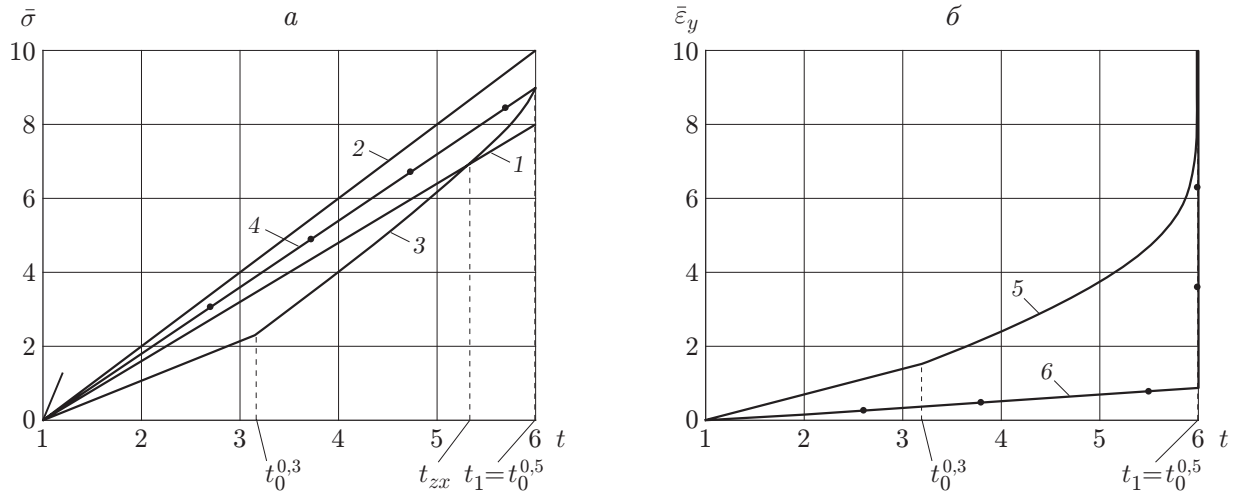


Рис. 2. Зависимости  $\bar{\sigma}_x$ ,  $\bar{\sigma}_y$ ,  $\bar{\sigma}_z$  (а) и  $\bar{\varepsilon}_y$  (б) от  $t$  при  $k = 0,8$ :

1 —  $\bar{\sigma}_x$  ( $\nu = 0,3; 0,5$ ); 2 —  $\bar{\sigma}_y$  ( $\nu = 0,3; 0,5$ ); 3, 4 —  $\bar{\sigma}_z$  (3 —  $\nu = 0,3$ , 4 —  $\nu = 0,5$ ); 5, 6 —  $\bar{\varepsilon}_y$  (5 —  $\nu = 0,3$ , 6 —  $\nu = 0,5$ )

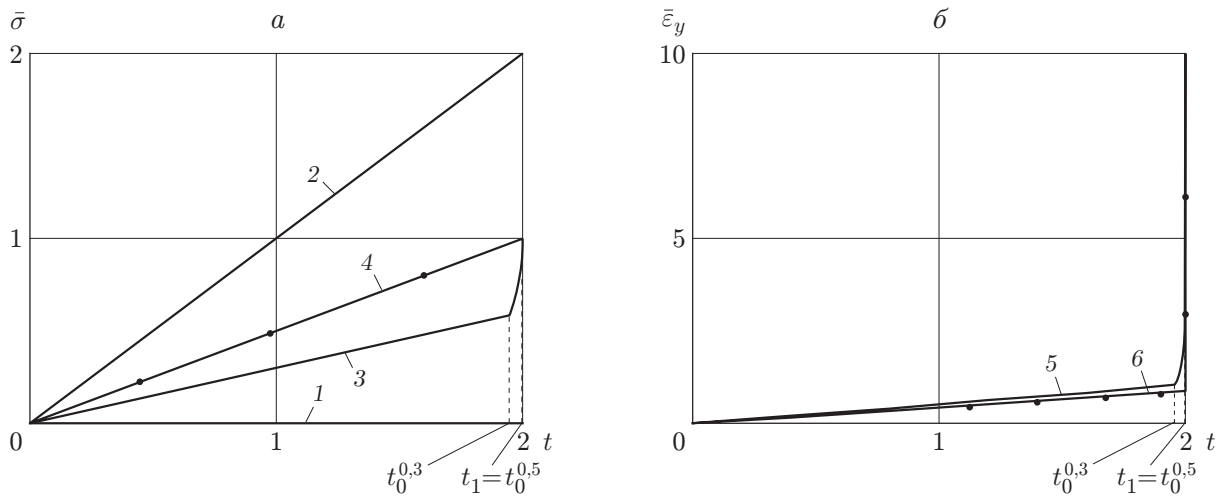


Рис. 3. Зависимости  $\bar{\sigma}_x$ ,  $\bar{\sigma}_y$ ,  $\bar{\sigma}_z$  (а) и  $\bar{\varepsilon}_y$  (б) от  $t$  при  $k = 0$  (обозначения те же, что на рис. 2)

Пусть  $k = 0$  (случай, соответствующий эксперименту Бриджмена). Решение для идеально пластического материала представлено на рис. 3. Пластические деформации для сжимаемого и несжимаемого материалов появляются при значениях параметра нагружения  $t_0^{0,5} \approx 1,03t_0^{0,3}$ . Следовательно, различие значения  $t_0^{0,3}$  и предельного значения  $t_1$  составляет лишь 3%. Это означает, что величина  $\sigma_z/(\sigma_x + \sigma_y)$  изменяется от 0,3 до 0,5 на малом интервале изменения параметра нагружения. В случае сжимаемого материала деформации возрастают до бесконечности на малом интервале изменения параметра нагружения, а в случае несжимаемого материала — мгновенно в точке  $t_1$ . В случае упрочняющегося материала при  $\nu = 0,3$ ,  $\alpha = 10^{-2}$  имеет место равенство  $\varepsilon_y(t_1) = 1,5\varepsilon_s$ , а в случае несжимаемого материала —  $\varepsilon_y(t_1) \approx 0,9\varepsilon_s$ . На всем пути нагружения при  $\nu = 0,3; 0,5$  выполняются неравенства  $\sigma_x < \sigma_z < \sigma_y$ .

**5. Выводы.** В работе исследовано влияние сжимаемости материала на решение упругопластической задачи о плоской деформации. Решение рассмотренной задачи зависит от величины  $\nu$ , но в том случае, когда главные напряжения в плоскости нагружения имеют разные знаки, эта зависимость является достаточно слабой, и при постановке задачи для упрощения можно считать материал несжимаемым. В случае, когда главные напряжения в плоскости нагружения близки по величине, а именно при  $k > \nu/(1 - \nu)$ , влияние коэффициента Пуассона существенно. Оно проявляется в том, что для сжимаемого и несжимаемого материалов при увеличении параметра нагружения развитие деформаций имеет различный характер. В этом случае для сжимаемого материала не выполняется не только равенство  $\sigma_z = 0,5(\sigma_x + \sigma_y)$ , но и неравенства  $\sigma_x < \sigma_z < \sigma_y$ , т. е. те соотношения, которые обычно принимаются при постановке задачи. Поэтому при  $k > \nu/(1 - \nu)$  необходимо учитывать сжимаемость. Использование в постановке задачи для сжимаемых материалов гипотез о величине осевого напряжения (1), (2) и условия пластичности Треска — Сен-Венана в виде (3) не всегда правомерно.

Численно и аналитически показано, что для задач рассматриваемого класса случай идеальной пластичности является предельным для упрочняющегося материала при  $\alpha \rightarrow 0$  (формулы аналитических решений справедливы при  $\alpha = 0$ ).

#### ЛИТЕРАТУРА

1. Соколовский В. В. Теория пластичности. М.: Высш. шк., 1969.
2. Ивлев Д. Д. Теория идеальной пластичности. М.: Наука, 1966.
3. Хилл Р. Математическая теория пластичности. М.: Гостехтеоретиздат, 1956.
4. Киликовская О. А., Овчинникова Н. В. Влияние упрочнения и сжимаемости материала на решение упругопластических задач о деформировании пространства с цилиндрической полостью // Изв. РАН. Механика твердого тела. 2012. № 1. С. 75–91.
5. Киликовская О. А., Овчинникова Н. В., Пендюрина М. Н. О влиянии упругой сжимаемости и упрочнения материала на решение упругопластической задачи для толстостенной трубы под действием внутреннего или внешнего давления // Вестн. Тул. гос. ун-та. Сер. Математика. Механика. Информатика. 2010. Т. 16, вып. 1. С. 72–87.
6. Киликовская О. А., Овчинникова Н. В., Пендюрина М. Н. Задача о толстостенной трубе из сжимаемого упругопластического материала при совместном действии внутреннего и внешнего давления // Упругость и неупругость: Материалы Междунар. науч. симп. по проблемам механики деформируемых тел, посвящ. 100-летию со дня рожд. А. А. Ильюшина, Москва, 20–21 янв. 2011 г. М.: Изд-во Моск. ун-та, 2011. С. 155–158.
7. Галин Л. А. Плоская упругопластическая задача. Пластические области у круговых отверстий в пластинах и балках // Прикл. математика и механика. 1946. Т. 10, вып. 3. С. 367–386.

*Поступила в редакцию 11/XI 2009 г.,  
в окончательном варианте — 28/VI 2012 г.*